

I-34 つり橋の動的挙動 および 空気力学的応答について

京都大学工学部 正員 工博 小西一郎
 京都大学工学部 正員 工博 白石成人
 京都大学大学院 学員 工修 ○宇都宮英考

1. まえがき

最近わが国においても長大スパンつり橋の架設が現実のものとなりつつあり、それとともに現在に到るまで、まだ十分に満足すべき解答を得ることができていない。つり橋の耐風安定性に関する問題に対して理論的に、あるいは実験的に信頼すべき根拠を持った解答を出すことが急務となっている。

そこで本研究では、つり橋の動的挙動と崩壊による際の基礎となる自由振動の基礎方程式および限界風速の問題について考察を行うものである。一般につり橋の構造は、作用する風荷重は、全スパンにわたって必ずしも一定であるとは言えられない。したがって横軸、斜張橋などでは、風が作用する場合に限界風速にどのような変化が見られるか検討した。基礎方程式と言えば、F. Bleich の方法へ従って、平板に作用する Lift および Torque/Moment を用いて表わし、数値計算を行った。

2. 自由振動の基礎方程式

補剛析と平板構造と仮定した場合の筋真打の運動方程は、以下の式で表される。

$$\frac{W}{A} \ddot{\theta} - \frac{W}{A} \frac{\partial^2}{\partial x^2} \left(2 \frac{\partial^2 u}{\partial x^2} \right) + \frac{2}{\rho} \left\{ (A+2I_0) \frac{\partial u}{\partial x} + (A+2I_0) \frac{\partial^2 u}{\partial x^2} \right\} = 0 \quad (1)$$

$$\frac{W}{A} (1+k)^2 \ddot{\theta} + \frac{2}{\rho} \left\{ A \frac{\partial u}{\partial x} + \frac{\partial^2 u}{\partial x^2} \right\} - I_0 \frac{\partial^2}{\partial x^2} \left(\frac{\partial^2 u}{\partial x^2} \right) = 2 \times 10^{-4} \quad (2)$$

$$\frac{W}{A} (1+k)^2 \ddot{\theta} - \frac{2}{\rho} \left\{ I_0 \frac{\partial^2 u}{\partial x^2} \right\} + I_0 \frac{\partial^2}{\partial x^2} \left(\frac{\partial^2 u}{\partial x^2} \right) = 2 \times (A+2) \cdot 10^{-4} \quad (3)$$

$$\text{ねじれ型振動} \quad \frac{W}{A} (I_0 + I_0) \frac{\partial^2 \theta}{\partial x^2} - \frac{2}{\rho} \left\{ u \left(I_0 + I_0 \right) \frac{\partial \theta}{\partial x} \right\} + I_0 \left(A + I_0 + \frac{2}{\rho} \right) \ddot{\theta} = I_0 (A + I_0 + \frac{2}{\rho}) \quad (4)$$

これらについて詳説は参考文献(1),(2)を参照されたい。

3. 基礎方程式の誘導 限界風速

つり橋のよう大きな風を持ったものは、前回の「空気力学的応答」(I-33)で F. Bleich の用いた Lift および Torque Moment を用いたとき漏れ流れての風速を求めていた。

$$L = -SV^2 [f(\phi + \frac{k}{V} \dot{\theta}) + f_0 \sin \phi] \quad (5)$$

$$M = \frac{SbT^2}{2} [f(\phi + \frac{k}{V} \dot{\theta}) - f_0 \sin \phi] \quad (6)$$

これは場所的に変動する風を考慮する場合の前回までのとおり normal form が用いられてはこのまま用いることはできない。 ϕ (5),(6) は、基礎方程式から

$$\ddot{\theta} + \omega_n^2 \int_{x_1}^{x_2} \left[\frac{\partial^2 \theta}{\partial x^2} + \frac{abT^2}{mV} \left\{ f_0 \sin \phi + f_0 \cos \phi + f_0 \sin \phi \int_{x_1}^{x_2} \frac{\partial \theta}{\partial x} dx \right\} \right] dx = 0 \quad (7)$$

$$\ddot{\theta} + \omega_n^2 \int_{x_1}^{x_2} \left[\frac{\partial^2 \theta}{\partial x^2} + \frac{abT^2}{mV} \left\{ f_0 \sin \phi + f_0 \cos \phi \int_{x_1}^{x_2} \frac{\partial \theta}{\partial x} dx \right\} \right] dx = 0 \quad (8)$$

ここで要素に normalize されたたわみ θ は、此後力学であり θ_1, θ_2 はその Lagrange 座標である。また $\int_{x_1}^{x_2}$ は全スパンに対する積分を表すし、 f_0 は風速が作用する位置を示す。

今、 $\theta_1 = C_1 e^{i\omega t}$, $\theta_2 = C_2 e^{i\omega t}$ として式(7)(8)から特性方程式を求める。複素度合の式となり、実数

即 虚数部がそれそれ零となるべき条件から次の2式が求められる。

$$\begin{aligned} \text{実数部} \quad & \omega^2 - \left[\left\{ 1 + S f_{ik} k D_{ii} \right\} \left\{ 1 + \frac{S}{2} \left(\frac{b}{f} \right)^2 D_{22} \left(f_{ik} + \frac{k}{2} f_{ik} \right) \right\} + \frac{1}{2} S^2 f_{ik} k D_{ii} D_{12} \left(\frac{b}{f} \right)^2 \left(f_{ik} - \frac{k}{2} f_{ik} \right) \right. \\ & \left. - \frac{1}{2} S k D_{22}^2 \left(\frac{b}{f} \right)^2 \left\{ f_{ik} \left(f_{ik} + \frac{k}{2} f_{ik} \right) + f_{ik} \left(f_{ik} + \frac{k}{2} f_{ik} \right) \right\} \right] \\ & - \omega^2 \left[\omega_1^2 \left\{ 1 + \frac{S}{2} \left(\frac{b}{f} \right)^2 D_{22} \left(f_{ik} + \frac{k}{2} f_{ik} \right) \right\} + \omega_2^2 \left\{ 1 + S f_{ik} k D_{ii} \right\} \right] + \omega_1^2 \omega_2^2 = 0 \end{aligned} \quad (9)$$

$$\begin{aligned} \text{虚数部} \quad & \omega^2 \left[\frac{S}{2} \left(\frac{b}{f} \right)^2 k D_{12} \left\{ f_{ik} \left(f_{ik} + \frac{k}{2} f_{ik} \right) - f_{ik} \left(f_{ik} - \frac{k}{2} f_{ik} \right) \right\} + \frac{S}{2} \left(\frac{b}{f} \right)^2 D_{22} \left(f_{ik} - f_{ik} - \frac{k}{2} f_{ik} \right) \left(1 + S f_{ik} k D_{ii} \right) \right. \\ & \left. - S k f_{ik} D_{ii} \left\{ 1 + \frac{S}{2} \left(\frac{b}{f} \right)^2 D_{22} \left(f_{ik} - \frac{k}{2} f_{ik} \right) \right\} \right] + S f_{ik} k D_{ii} \omega_1^2 - \frac{S}{2} \left(\frac{b}{f} \right)^2 D_{22} \left(f_{ik} - \frac{k}{2} f_{ik} \right) \omega_1^2 = 0 \end{aligned} \quad (10)$$

ここで $D_{mn} = \int_{x_1}^{x_2} \bar{x}_m \bar{x}_n dx$, $S = \frac{\rho b}{m k^2}$ であり $k = \frac{\pi b}{l}$, $f_k = f_{ik} + i f_{ek}$ である。これら2式を用いて折算のK重さより ω^2 が算出される。

図-1

4. 数値計算(1)結果および考察

数値計算は明石海峽大橋(一次束)の断面諸元を用いた。またRを定め、それに対する(9)(10)について求め、 ω^2 -k曲線を描き2つの曲線の交差から、限界風速 b_f が flutter frequencies を求めた。計算に4つの荷重状態について行われ、また各kについては、5-caseを想定した。計算結果は次に示す通りである。

Critical Wind Velocity ($b_f = 1.0$, Fully loaded の場合を1とす)

b_f	3.0	2.143	1.0
(a) 2 (Fully loaded)	1.04	1.127	—
(b) 0.88 (80% loaded)	1.10	1.127	—
(c) 0.68 (60% loaded)	1.191	1.356	1.405 1.448
(d) 0.58 (50% loaded)	1.171	1.659	1.424 1.493

Flutter Frequency (ω^2)

b_f	3.0	2.143	1.0
(a) 2	0.74	0.91	—
(b) 0.88	0.82	0.85	—
(c) 0.68	0.80	0.88	0.85 0.89
(d) 0.58	0.72	0.90	0.84 0.88

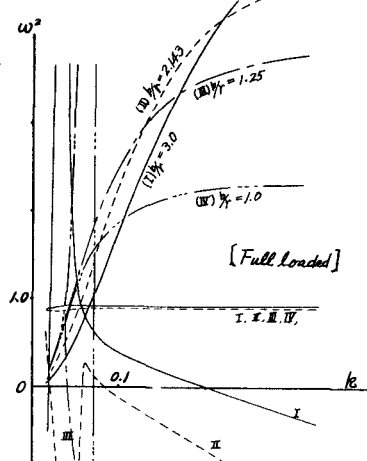


図-1

一般kへ対して限界風速は4つ定まり工学的にはその最小のものが意味を持つと考えられる。またload conditionが変化すると、必ず1つ以上ではかなりの変動が認められある場合には荷重的風速を受ける時と、全スパンで一様に受ける場合でも、 T_{cr} が強度変わらないものも認められ、幾何学的な形状による空気力学的安定性を検討する際に、一つの指針を得られると考える。

以上の結果kについてはまだいくつかの問題点が含まれておる。

さらにこれに引続いて行われた数値計算結果については、当日発表する。

参考文献 (1) N. Shirasaki "The Memoirs of Faculty of Engineering Kyoto University, Vol. XXV part 2, April 1963

(2) N. Shirasaki "The Memoirs of Faculty of Engineering Kyoto University, Vol. XXVI part 2, April 1964.

(3) F. Blaich, etc. "The Mathematical Theory of Vibration in Suspension Bridges" Dept. of Commerce U.S.A. 1950. chap. 7

